

Układy UL 1261 i UL 1262 są układami o średniej skali integracji. Zawierają one:

- generator linii,
- układ porównania fazy,
- selektor i separator impulsów synchronizacji,
- układ tłumienia szumów,
- wzmacniacz wyjściowy impulsów sterujących linią,
- diodę Zenera stabilizującą napięcie zasilania.

Układy te charakteryzują się:

- dużą stałością częstotliwości generatora,
- dużym zakresem regulacji częstotliwości generatora,
- dużym zakresem regulacji fazy,
- małą ilością elementów zewnętrznych.

Przeznaczone są do zastosowania w odbiornikach telewizyjnych, osarno-białych i kolorowych przenośnych i stołowych.

**UL 1261N**  
**UL 1262N**  
**UL 1261NA**  
**UL 1262NA**

Regulowany generator odchylenia poziomego dla układu tyrystorowego UL 1261 oraz tranzystorowego UL 1262

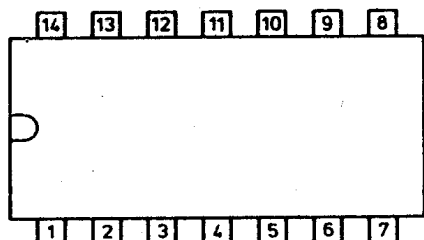
Obudowa CE 70

### Parametry dopuszczalne

/ $t_{amb} = +25^{\circ}C$ /

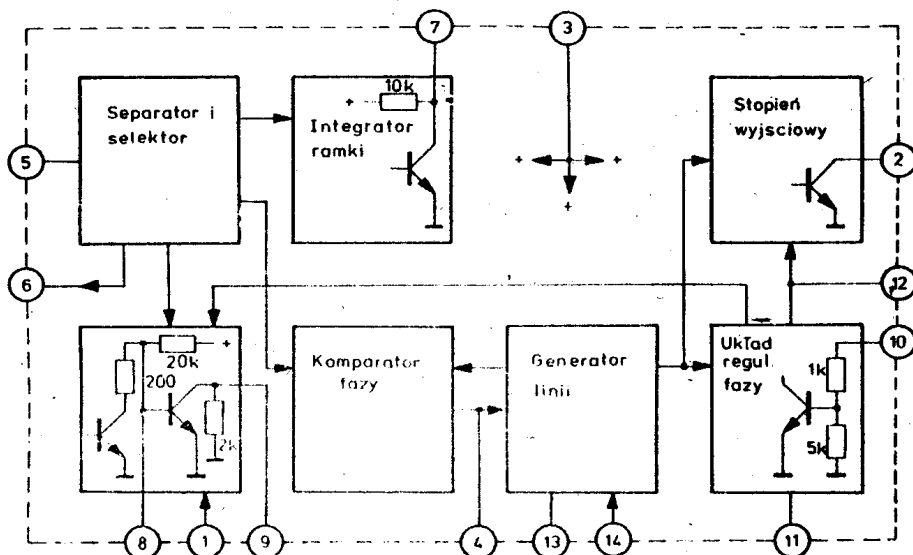
Oznaczenie	Nazwa	Jedn.	Wartość	
			min	max
$I_{CC3}$	Prąd zasilania	mA		45
$I_{I5}$	Prąd wejściowy	mA		2
$U_{O2}$	Napięcie wyjściowe	V		12
$I_{O2}$	Prąd wyjściowy	mA		22
$I_B$	Prąd przełączania magnetowidu	mA		5
$I_{10}$	Szczytowy prąd impulsu powrotu linii	mA		5
$U_{11}$	Napięcie przesunięcia fazowego	V	0	3
$t_{amb}$	Temperatura pracy	$^{\circ}C$	0	+70
$t_{stg}$	Temperatura przechowywania	$^{\circ}C$	-40	+125
$P_d$	Moc tracona	W		0,6
	dla UL 1261/62N			
	dla UL 1261/62NA			1

## Układ wyprowadzeń



## Opis wyprowadzeń

1. Masa
2. Wyjście impulsów sterujących linii
3. Zasilanie +
4. Punkt przyłączenia filtra dolnoprzepustowego w pętli fazowo-częstotliwościowej
5. Wejście sygnału wizyjnego
6. Wyjście impulsów synchron. linii i ramki
7. Wyjście impulsów synchron. pionowej /ramki/
8. Punkt przyłączenia kondensatora 100 nF
9. Punkt przyłączenia układu ograniczającego zakres zaskoku porównania fazy w stanie synchronizmu, lub rezystora pomocniczego /680 Ω lub 1 kΩ/ do masy przy pracy z magnetowidem
10. Wejście impulsów powrotu linii
11. Punkt przyłączenia potencjometru 10 kΩ dla regulacji przesunięcia czasowego impulsów powrotu linii względem impulsów synchronizacji linii
12. Punkt przyłączenia kondensatora dla układu detektora w pętli fazowej
13. Punkt przyłączenia kondensatora 10 nF max 2% styrofleksowego, dla ustalenia częstotliwości generatora linii
14. Punkt przyłączenia rezystora 10,5 kΩ 1% dla ustalenia częstotliwości generatora linii



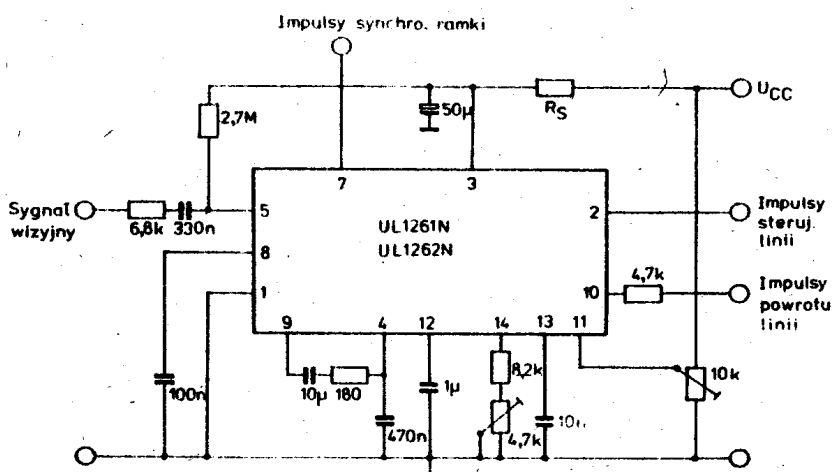
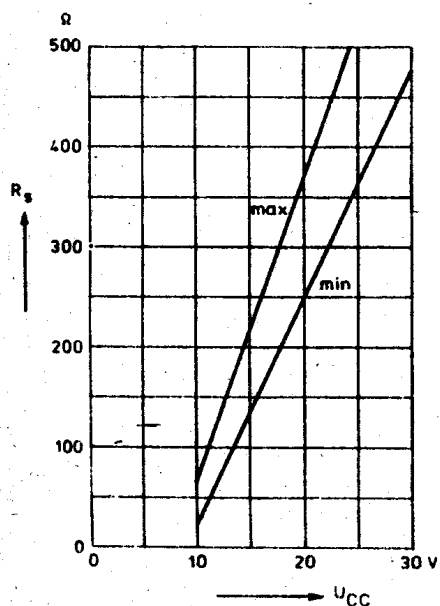
Schemat blokowy

## Parametry charakterystyczne

/ $t_{amb} = +25^{\circ}C$ ,  $U_{CC} = 24 V$ /

Oznaczenie	Nazwa	Jedn.	Wartość			Warunki pomiaru Uwagi
			min	typ	max	
$I_{I5}$	Prąd wejściowy w czasie trwania impulsów synchronizacji	$\mu A$	5			
$U_{I5pp}$	Amplituda sygnału wizyjnego	V	1	3	6	
$I_{I10}$	Prąd wejściowy impulsów powrotu linii	mA	0,2		2	
$I_8$	Prąd przełączania magnetowidu	mA	2			
$U_{7pp}$	Amplituda impulsu synchronizacji	V	8			$U_{I5} > 1,5 V_{pp}$
$t_7$	Czas trwania impulsu synchronizacji	$\mu s$	150			$U_{I5} > 1,5 V_{pp}$

Oznaczenie	Nazwa	Jedn.	Wartość			Warunki pomiaru Uwagi
			min	typ	max	
R <sub>07</sub>	Rezystancja wyjściowa nóżki 7 w stanie wysokim	kΩ	7,5	10	13	U <sub>I5</sub> > 1,5 Vpp
U <sub>06pp</sub>	Amplituda napięcia wyjściowego impulsów linii i ramki z selektora impulsów	V	8			U <sub>I5</sub> > 1,5 Vpp
t <sub>2</sub>	Czas trwania impulsów sterujących linii na nóżce nr 2	μs	4		8	U <sub>I5</sub> > 1 Vpp
			25		28	
U <sub>2 sat</sub>	Napięcie nasycenia wzmacniacza wyjściowego sterowania linii	V			0,55	I <sub>2</sub> =20 mA
f <sub>0</sub>	Częstotliwość własna oscylatora	Hz	14062	15625	17188	C <sub>13</sub> =10 nF; R <sub>14</sub> =10,5 kΩ
±Δf <sub>F</sub>	Zakres zaskoku	Hz	400		1000	U <sub>I5</sub> > 1,5 Vpp
±Δf <sub>H</sub>	Zakres trzymania	Hz	400		1000	U <sub>I5</sub> > 1,5 Vpp
$\frac{df_0}{dt_p}$	Nachylenie pętli fazowo-częstotliwościowej	$\frac{kHz}{\mu s}$	1,5			U <sub>I5</sub> > 1,5 Vpp t <sub>10</sub> =12 μs U <sub>10</sub> ≥ 2 Vpp
$\frac{dt_d}{dt_p}$	Nachylenie pętli fazowej		15			
t <sub>y</sub>	Przesunięcie fazy	μs	-1		3,5	U <sub>I5</sub> > 1,5 Vpp; t <sub>10</sub> =12 μs U <sub>10</sub> > 2 Vpp
U <sub>CC</sub>	Napięcie zasilania					patrz rys. zależność rezystancji szeregowej R <sub>s</sub> od napięcia zasilania



▲ Zależność rezystancji szeregowej R<sub>s</sub> od napięcia zasilania

▲ Schemat aplikacyjny